



高 等 学 校 教 学 用 书

# 矿井电缆网路的计算

苏联 IO.A.米哈耶夫等著

煤 炭 工 业 出 版 社

高 等 学 校 教 学 用 书

# 礦井電纜線路的計算

Ю.А.本哈耶夫 合著  
苏联 И.И.法比索維奇

商之熙譯

煤 炭 工 业 出 版 社

0173954

## 内 容 提 要

本書是“礦井采煤区電纜網路的計算”一書的增訂版。書中除了對礦井電纜網路的計算、變壓器容量、露天電變及根據電纜截面的選擇以及網路各元件電阻損失的計算等章作了补充和修訂外，還增加了380伏礦井網路短路電流的計算、接線圖、烏拉爾耶夫法計算采煤區的动力供路、用1000伏電壓動力作面機器和機械的電動機進行供電、高壓電斷路器的選擇等五章。用1000伏電壓供電有許多優點，是新的技術方向，書中對此作了具體說明。

此外，書中還敘述了當發生電弧短路時，實際電弧的“合成電阻”計算法；列出了為計算所必需的參考資料，及可簡化計算的圖表圖、並附有若干有關省電氣設備和電能的問題。

本書是苏联高等教育部審定的高等院校教材，也適用于煤矿工程技術人員。

Ю.А. Михеев и д. Файбенович  
РАСЧЕТ ПРОДУКТОВЫХ КАБЕЛЬНЫХ СЛУЖИ  
Учпедиздат Москва 1957  
根据苏联国立煤矿技术书籍出版社1957年版譯

724

## 礦井電纜網路的計算

謝之熙譯

序

煤炭工业出版社出版(地址：北京市長安街煤炭工業部)

北京市云霞里胡同5號 電話第054号

煤炭工业出版社印刷厂排印 新華書店發行

序

開本350×210毫米 1/16开 8字稿1,000

1957年4月北京第1版 1957年4月北京第1次重印

統一書號：15035·164 印數：0,001—2,000册 定價：(10)0.75元

## 序　　言

由于矿井全部采煤过程机械化的广泛发展，尤其是由于具有大容量电气传动装置的联合采煤机的使用，工作面电气装备程度随之大为增加，所以对矿井采区的电气设备提出了更高、更新的要求。

对于效率高的矿山机械的工作，需要保证在电动机的端钮上具有足够的电压，因此要正确地选择变压器的容量及电缆的截面。

如果变压器的容量不足及电缆的截面过小，将产生大量的电压损失，而使机器的效率降低，并增多事故的次数。

在电压不足的情况下，电动机会时常发生“颠复”现象，因此就必须用降低机器给进速度的方法，以减轻其负荷。

另一方面，如果变压器的容量及电缆的截面过大，不但会使电气设备的费用增大，而且对于运行也会造成困难。

此外，对于变压器的多余容量还要额外地多支付设备容量的基本费。

所有这些情况迫使我们对于正确地计算矿井电缆网路必须加以特别注意。

如果地面上的任一企业的电缆网路，只在设计或改建时，进行计算，那么对于矿井采区的电缆网路，在运行期间还必须重复地进行计算，因为在采区的生产过程中，变电所至采煤场子的距离及采煤场子的设备是常常变更的。

本书可作为矿业高等学校学习矿山电工学的学生的教材，并适用于从事矿井电气设备设计及运行工作的工程技术人员。

书中列举了有关矿井电缆网路的计算资料，而对于所有计算的基本原则都作出了符合具体条件的例题。

有关节约电气设备方面的资料将有助于矿井工作人员使煤炭成本降低。

在编著此书时，曾利用全苏函授工业学院矿山电工系的教学经验。

## 目 录

### 序 言

第一 章	电压降及电压损失	3
第二 章	变压器电压的调整	9
第三 章	根据容許发热条件选择电缆的截面	11
第四 章	用于保护电缆網路的可熔保险器的选择	14
第五 章	380 伏矿井網路短路电流的計算	16
第六 章	馈电缆網路自动开关的选择	24
第七 章	采区电缆網路的計算	28
第八 章	考虑到实际起动电流及电缆的感抗的采区 电纜網路的計算	53
第九 章	按B.II. 穆拉魏耶夫法計算采区的动力網路	70
第十 章	用諾模圖計算矿井的电缆網路	75
第十一章	用 660 伏的电压对工作面的机器及机械的 电动机进行供电	82
第十二章	高压电缆截面的选择	86
第十三章	高压配电間隔的选择	88
第十四章	关于节省电气设备及电能的几个問題	97
附 录	1—6	

# 第一章 电压降及电压损失

## 1. 線路的电压降及电压损失

輸送电能时，在导綫中会发生电压降。輸送交流电时，导綫中的电压降由两个分量組成：导綫的电阻电压降及电抗电压降。

电阻电压降是全部負荷电流乘导綫有效电阻的积数。

电抗电压降是全部負荷电流乘导綫电抗的积数。

图 1 所示的是綫路的終端帶有三相負荷的向量图。此图是对綫路的一相繪制的。

$U_{\phi_A}$  表示綫路始端(A点)的相电压，而  $U_{\phi_B}$  表示綫路終端(B点)的相电压。

在垂直綫上表示出  $U_{\phi_B}$  值(图 2)。向滞后方向，在角  $\varphi$  下繪出負荷电流  $I$ 。由向量  $U_{\phi_B}$  的末端，与电流的向量相平行地繪出电阻电压降  $Ir$ ，因为总电压降的这一个分量是与电流的方向相重合的。由 C 点与向量 BC 垂直地向向量的旋轉方向繪出綫路总电压降的第二个分量，即无功分量  $CA$ 。电压降三角形的辺  $BA$  乃是綫路的总电压降。此值等于全电流乘綫路阻抗(視电阻)的积数。

使綫路終端的电压均衡及补偿綫路电压降的向量  $OA$  就是綫路始端(A点)的电压。

这个向量图是对滞后負荷电流繪制的。

在实际应用上，特别是在計算綫路时，我們所需要的不是



图 1

线路始端及终端电压的几何差，而是代数差，即所谓电压损失。重要的是我们应当知道线路终端，即电动机端钮上的电压值，因为电动机的转矩是决定于此值的。

连接于线路始端及终端的电压表所指出的，不是线路两端电压的几何差，而是其代数差。

要在向量图上得出线路的电压损失，必须用圆规将向量  $U_{\phi_1}$  移至垂直线上，此时， $Bd = Od - OB$  线段表示线路电压损失。由于线段  $de$  很小，故可认为

$$Bd \approx Be = Bg \cdot Cf$$

$$= Ir \cos \varphi + Ix \sin \varphi.$$

因为线路电压损失等于相电压损失的  $\sqrt{3}$  倍，所以用于计算线路电压损失的公式如下：

$$\Delta U = \sqrt{3} (Ir \cos \varphi + Ix \sin \varphi),$$

式中  $\Delta U$ ——线路电压损失，伏。

在计算矿井电缆网路时，一般把电抗略去不计 ( $x=0$ )。此时，线路的相电压降为  $Ir$ ，而电压损失则为  $Ir \cos \varphi$ 。

因此，当  $x=0$  时，电压损失等于电压降乘以电流用户的功率因数 ( $\cos \varphi$ )。

**例题1.** 用于对 KMII-2 型截煤机供电的、长 200 公尺的 TPIIC 3×35+3×10 公厘<sup>2</sup> 的电缆，连接于电压为 380 伏的配点。试求当截煤机的负荷为 96 安时，以额定电压百分数表示的电缆电压降及电压损失。在这种负荷下，MA-191/10 型电动机的功率因数  $\cos \varphi = 0.83$ 。在解决此算题时，应当考虑到电缆的电抗及由于电缆发热而增大的有效电阻。电缆芯线的温度采

用  $50^{\circ}$ 。

电缆的有效电阻：

当  $t_1=20^{\circ}$  时

$$r_{20} = \frac{200}{53 \times 35} = 0.108 \text{ 欧姆};$$

当  $t_2=50^{\circ}$  时

$$r_{50} = r_{20}(1 + \alpha(t_2 - t_1)) = 0.108[1 + 0.004(50 - 20)] \\ \approx 0.13 \text{ 欧姆}.$$

铜的温度系数  $\alpha=0.004$ 。

电缆的平均电抗为 0.07 欧姆 / 公里。故  $x = 0.07 \times 0.2 = 0.014$  欧姆。

以百分数计算的电缆的电压降

$$\Delta U \% = \frac{\sqrt{3} I \sqrt{r^2 + x^2} \cdot 100}{U} \\ = \frac{\sqrt{3} \times 96 \sqrt{0.13^2 + 0.014^2} \times 100}{380} = 5.74\%.$$

以百分数计算的电缆的电压损失

$$\Delta U = \frac{\sqrt{3} (Ir \cos \varphi + Ix \sin \varphi) 100}{U} \\ = \frac{\sqrt{3} (96 \times 0.13 \times 0.83 + 96 \times 0.014 \times 0.558) 100}{380} = 5.05\%.$$

(适应于  $\cos \varphi$  的  $\sin \varphi$  值，见附录 4)。

## 2. 变压器的电压损失及电压降

所谓变压器电压的损失，是换算成同一匝数的变压器绕组端钮之间的电压之代数差。将变压器的普通向量图(图 3)的

底部按反時針的方向旋轉 $180^\circ$ ，即可得出變壓器電壓降的向量圖(圖4)。

在向量圖上(圖4)變壓器一次繞組及二次繞組的電壓降是以三角形 $A_1B_1A_2$ 和 $A_2B_2C_2$ 表示的。可以足夠準確地認為兩個三角形的斜邊是一條直線。如此，所得出的向量圖上的三角形 $A_1DC_2$ 表示總電壓降(圖5)。這個三角形的邊 $C_2D$ 及 $A_1D$ 可以認為是三角形 $A_1B_1A_2$ 及 $A_2B_2C_2$ 各邊的總和(見圖4)：

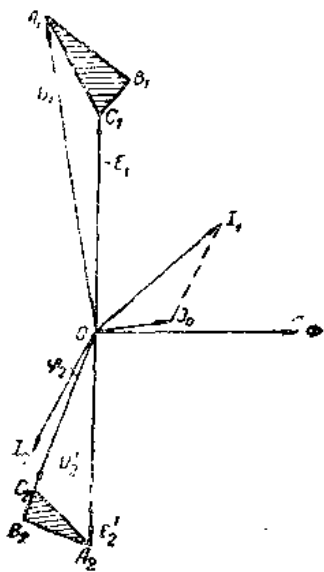


图 3

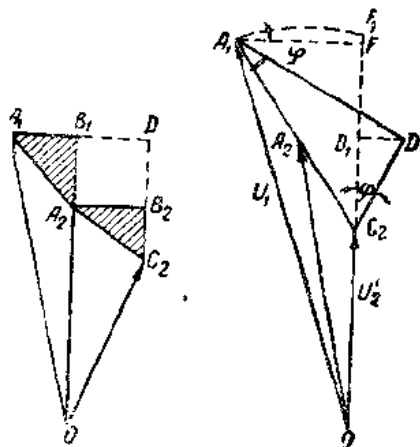


图 4

图 5

$$C_2D = A_2B_1 + C_2B_2 = u_a = I_1r_1 + I_2'r_2' \approx I_1(r_1 + r_2');$$

$$A_1D = A_1B_1 + A_2B_2 = u_r = I_1x_1 + I_2'x_2' \approx I_1(x_1 + x_2'),$$

式中 $I_2'$ (約等於 $I_1$ )， $r_2'$ ， $x_2'$ ——變壓器二次電流、有效電阻及電抗的換算值。如果將變壓器的無載電流略而不計，則可認為 $I_2'$ 及 $I_1$ 是相等的。

变压器的电阻电压降 $u_a$ 及感抗电压降 $u_r$ ，一般都是以額定相电压的百分数表示的，即：

$$u_a \% = \frac{I_1(r_1 + r_2') 100}{U_\Phi};$$

$$u_r \% = \frac{I_1(x_1 + x_2') 100}{U_\Phi}.$$

以額定电压的百分数表示的变压器的电压损失：

$$\Delta U_r \% = \frac{U_1 - U_2'}{U} 100.$$

为了得出电压损失与电压降的关系式，由 $A_1$ 点（图5）向 $OC_2$ 的延长綫引一垂直綫( $F$ 点)，并由 $D$ 点向 $OC_2$ 的延长綫引一垂直綫( $D_1$ 点)。此时可以認為：

$$\Delta U_r = U_1 - U_2' = OF_1 - OC_2 \approx C_2 F = C_2 D_1 + D_1 F;$$

$$C_2 D_1 = C_2 D \cos \varphi; D_1 F = A_1 D \sin \varphi;$$

$$C_2 D = u_a; A_1 D = u_r;$$

$$\Delta U_r = u_a \cos \varphi + u_r \sin \varphi.$$

将此公式乘以变压器的負荷率 $\beta$ ，即得出用于求算以百分数計的变压器电压损失的最終公式：

$$\Delta U_r \% = \beta(u_a \% \cos \varphi + u_r \% \sin \varphi).$$

**例題2.** 容量为180千伏安的TMIII型变压器（額定电流为260安）是对“頓巴斯”联合采煤机进行供电的，試求当联合采煤机的电动机在：1)以小时容量进行工作及2)起动时，变压器的电压损失。变压器的短路电压 $e_k = 5.5\%$ ；变压器的負荷损失 $P_h = 4000$ 瓦特；当联合采煤机正常工作时，二次回路的功率为0.83，起动时为0.5；适应于联合采煤机电动机小时容量的电流为131安，起动电流为519安。

求算正常工作下变压器的负荷率

$$\beta = \frac{131}{260} = 0.505.$$

电阻电压降的相对值

$$u_a = \frac{P_a}{P} \cdot 100 = \frac{4}{180} \cdot 100 = 2.22\%.$$

感抗电压降的相对值

$$u_r = \sqrt{e_k^2 - u_a^2} = \sqrt{5.5^2 - 2.22^2} = 5.02\%.$$

变压器电压损失的相对值

$$\begin{aligned}\Delta U_r \% &= \beta(u_a \% \cos \varphi + u_r \% \sin \varphi) \\ &= 0.505(2.22 \times 0.83 + 5.02 \times 0.558) = 2.34\%,\end{aligned}$$

式中 适应于  $\cos \varphi = 0.83$  的  $\sin \varphi = 0.558$  是在表中找得的（见附录 4）。

以伏特计算的电压损失：

$$\Delta U_r = \frac{2.34 \times 400}{100} = 9.36 \text{ 伏.}$$

求算在起动电动机时变压器的电压损失（起动电动机时由于电压值的降低而引起的起动电流的下降，没有加以考虑）。

变压器的负荷率

$$\beta = \frac{519}{260} = 2.$$

$$\Delta U_r = 2(2.22 \times 0.5 + 5.02 \times 0.866) = 10.92\%,$$

式中 适应于  $\cos \varphi = 0.5$  的  $\sin \varphi = 0.866$  是在表中找得的。

$$\Delta U_r = \frac{10.92 \times 400}{100} = 43.7 \text{ 伏.}$$

## 第二章 变压器电压的調整

由計算变压器損失的公式中可以看出用戶的功率因数对于电压損失值所起的影响。 $u_1$  值一般总是大于  $u_a$  值的，因此，功率因数的降低，就会使电压损失增大。决定于功率因数的变压器电压损失的变化情况示于图 6。于額定負荷下，当功率因数为 0.8 时，变压器的电压损失等于 5%。因此，在用戶的正常工作情況下，变压器的电压应調整到較網路的額定电压高 5%。

如此，对于額定电压为 380 伏的網路，变压器的电压应采用 400 伏。在 高压網 路中也会发生电压损失，补偿因此而发生的变压器的电压损失的方法是轉換匝数，以調整电压。对于一次电压为 35 千伏以下的变压器，裝有用于将电压調整达土 5% 的装置，借此可以变更一次繞組的匝数。

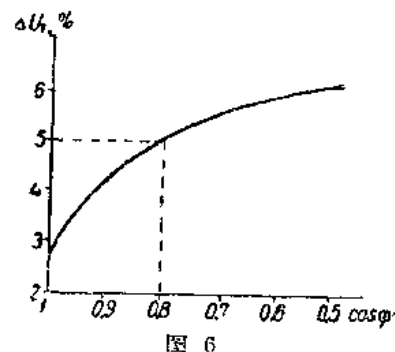


图 6

表 1

变压器的接通电压，千伏			+5%的綫匝	主端 鈕	-5%的綫匝
3/0.4	6/0.4	6.3/0.4			
2.85	5.7	6.0			
3.0	6.0	6.3		+	
3.15	6.3	6.6	+		+

表 1 所示帶有“+”記号的端鈕是用于連接供电電纜的变压

器的端鉗，利用这些端鉗可以根据接通电压，在变压器无载运行时，在其二次繞組的端鉗上获得 400 伏的电压。

在使用主端鉗及高压側的电压为額定值时，在变压器无載的情况下，低压側的电压将較額定值高 5 %。例如对于电压为 6000/400 伏的变压器，其二次电压为 400 伏，即較 380 伏的網路电压高 5 %。

当調整到 + 5 % 时，变压器将具有額定电压。实际上，6300/400 伏的变压器，其变压比为 15.75，因此，当一次側的額定电压为 6000 伏时，二次側的电压就可以达到 380 伏，即額定电压。

当調整到 - 5 % 时，变压比将为  $\frac{5700}{400} = 14.25$ ，因此二次电压等于  $\frac{6000}{14.25} = 420$  伏，即較網路的額定电压 (380 伏) 約高 10 %。

在运行中选择接綫头时，应考慮到使用戶处的电压变化不超过額定值的± 5 % 范围。

于計算矿井的电纜網路时，必須对变压器的实际端鉗电压加以考慮。

变压器一次繞組的端鉗电压，一般是隨負荷发生变更的：夜間的电压較白班的电压为高。

用于調整电压的附加端鉗的构造，是不允許时常換接的。只有在迁移采区变电所时，即大約每經過半年在变压器的一次側选择一次用于連接电纜的端鉗，在下一次移动变电所以前是不变更的。

端鉗必須根据白天最大負荷工作班的电压来选择。

附加端鉗只能用于补偿变压器一次繞組端鉗电压的降低值。

最好不使用这种調整方法来使矿井电纜網路的电压损失有所增大，即不可以利用附加端鉗来使采区变电所至用电设备的距离大为增加。

但是，对使用联合采煤机的采煤場子进行供电的电压为380伏的網路，时常不能保証电动机的端鉤上具有正常的电压，所以不得不利用-5%的附加端鉗。这就說明必須改用660伏的电压。

### 第三章 根据容許發熱条件选择电缆的截面

現在有計算电缆（或者絕緣导線）容許負荷电流的公式，該公式将电流值、电缆或者导線的截面、芯綫數及芯綫的最大温度等联系在一起。計算时一般不使用公式，而利用容許負荷表。

#### 电缆的容許計算

負荷是根据表2所列的电缆芯綫的容許發熱温度采用的。

表3、4及5所列举的是敷設在井下的鎧裝电缆长时容許計算負荷值。

电缆芯綫的容許發熱溫度 表 2

电缆的額定电压，千伏	电缆芯綫的容許發熱溫度，度
3 以下	80
6	65
10	60

根据矿井深度，在正常通风情况下，頓巴斯各矿回采工作面的空气温度可以采用：

- 矿井深度为100公尺以下时……………15° 以下
- 矿井深度为100到250公尺时…………… 20° 以下
- 矿井深度为250到450公尺时…………… 25° 以下
- 矿井深度为450公尺以上时…………… 30° 以下

1 千伏以下礦井鎧裝電纜的長時容許電流值 表 3

電纜芯線的 截面, 公厘 <sup>2</sup>	敷設在井下的電纜當井下空氣的溫度為下列值 時的電流值, 安			
	15°	20°	25°	30°
1.5	22.5	21.6	20.7	19.8
2.5	36.7	39.5	38.3	37.1
4.0	40.5	39.9	37.3	35.7
6.0	51.8	49.7	47.7	45.6
10.0	69.0	66.3	63.5	60.7
16.0	99.0	86.5	82.8	79.2
25.0	120.0	115.0	110.0	105.5
35.0	142.0	137.0	131.0	125.5
50.0	176.0	169.0	162.0	155.0
70.0	215.0	207.0	198.0	189.0
95.0	255.0	245.0	235.0	225.0
120.0	291.0	279.0	267.0	253.0

3 千伏礦井鎧裝電纜的長時容許電流值 表 4

電纜芯線的 截面, 公厘 <sup>2</sup>	敷設在井下的電纜當井下空氣的溫度為下列值 時的電流值, 安			
	15°	20°	25°	30°
4	39.0	37.5	35.9	34.3
6	50.3	48.3	45.3	44.3
10	66.8	64.1	61.5	58.8
16	84.0	80.6	77.3	73.8
25	116.5	111.5	107.0	102.5
35	131.5	126.0	120.5	115.5
50	161.5	155.0	148.0	142.0
70	210.0	202.6	193.0	185.0
95	247.0	238.0	228.0	218.0
120	285.0	274.0	262.0	251.0

6 千伏礦井鎧裝電纜的長時容許電流值 表 5

電纜芯線的 截面, 公厘 <sup>2</sup>	敷設在井下的電纜當井下空氣的溫度為下列值 時的電流值, 安			
	15°	20°	25°	30°
10	57.7	55.0	51.4	48.5
16	75.0	71.4	66.7	62.0
25	97.5	92.7	86.9	82.0
35	117.0	111.5	104.9	98.2
50	145.0	138.0	129.0	121.5
70	179.5	171.0	160.0	151.0
95	218.0	207.0	194.0	183.0
120	248.0	236.0	221.0	209.0

**例題3.** 根據容許發熱條件，選擇敷設在平巷中的鎧裝電纜（380伏）的截面。電纜的長時負荷 $I = 100$ 安。四周空氣的溫度為 $+25^\circ$ 。由表3中可以查出，對於100安的電流，可選用截面為25公厘 $^2$ 的電纜。根據發熱條件，這種電纜的容許負荷為110安。

**例題4.** 根據容許發熱條件，選擇鎧裝電纜的截面。敷設在平巷中的電纜是對皮帶運輸機的三部MA-144-2/4型電動機進行供電的。每部電動機的容量為29瓩；電流為56.2安；空氣溫度為 $+15^\circ$ ；網路電壓為380伏。平巷式供電。

敷設在配電點與第一台電動機之間的一段電纜的截面，應按三台電動機的總電流計算：

$$I_1 = 3 I_n = 3 \times 56.2 = 168.6 \text{ 安}.$$

根據表3選用的電纜之截面為50公厘 $^2$ ，其容許負荷為176安。第一台與第二台電動機之間的電纜的截面，根據以下電流計算：

$$I_2 = 2 I_n = 2 \times 56.2 = 112.4 \text{ 安}.$$

選用容許負荷為

120安的截面為25公厘 $^2$ 的電纜。對第三台電動機進行供電的電纜截面，可根據以下電流選擇：

$$I_3 = I_n = 56.2 \text{ 安}.$$

根據表3可選用容許負荷為69安、截面為10公厘 $^2$ 的電纜。

決定於保護條件

表 6  
橡膠絕緣電纜的長時容許負荷

銅導電芯線的 截面，公厘 $^2$	長時容許負荷，安	
	用熱力繼電 器保護時	用可熔保險 器保護時
2.5	20	15
4	25	20
6	31	25
10	43	35
16	75	60
25	100	80
35	125	100
50	160	125

的橡胶絕緣電纜的長時容許負荷，列于表6。應當指出的是電纜的發熱常數是不大的（約為0.5小時）。因此，用于對截煤機或者聯合采煤機進行供電的電纜，應當根據適應于小時容量的電流來選擇。

#### 第四章 用于保護電纜網路的 可熔保險器的選擇

選擇用于保護對鼠籠型電動機進行供電的電纜的可熔保險器之所以復雜，是因為這種電動機的起動電流要較正常工作電流大4—7倍。此時應當根據大大地超過正常電流值的電流來選擇可熔保險器，以免在起動電動機時，將熔斷片燒壞。在實際工作中，熔斷片是根據下列方式進行選擇的：

1. 在選擇用于保護對穩定負荷（如照明，繞綫型電動機）進行供電的電纜時，為了避免不必要的切斷用戶，必須符合下列條件：

$$I_{\text{act}} \geq I_{\text{heat-p.}}$$

例如，當電纜的工作電流  $I_{\text{heat-p.}} = 50$  安時，所用保險器的熔斷片，其電流應當接近於較大的額定電流，即

$$I_{\text{act}} = 60 \text{ 安.}$$

2. 用于保護對鼠籠型電動機供電的線路的熔斷片，其額定電流為

$$I_{\text{act}} \geq \frac{I_n}{2.5},$$

式中  $I_n$ ——鼠籠型電動機的額定起動電流。

3. 用于保護對幾個用戶進行供電的干綫的熔斷片，其額定電流可根據下式求出：